

## $\beta$ -SiC-ZrB<sub>2</sub> 복합체의 파괴인성과 전기전도도에 미치는 YAG의 영향

### Effect of YAG on the Fracture Toughness and Electrical Conductivity of $\beta$ -SiC-ZrB<sub>2</sub> Composites

신용덕, 주진영, 윤세원, 황철, 박미림  
(Yong-Deok Shin, Jin-Young Ju, Se-Won Yoon, Chul Hwang, Mi-Lim Park)

#### Abstract

The mechanical and electrical properties of the hot-pressed and annealed  $\beta$ -SiC-ZrB<sub>2</sub> electroconductive ceramic composites were investigated as function of the liquid forming additives of Al<sub>2</sub>O<sub>3</sub>+Y<sub>2</sub>O<sub>3</sub>. Phase analysis of composites by XRD revealed  $\alpha$ -SiC(6H), ZrB<sub>2</sub>, and YAG(Al<sub>5</sub>Y<sub>3</sub>O<sub>12</sub>). Owing to crack deflection, crack bridging, phase transition and YAG of fracture toughness mechanism, the fracture toughness showed the highest value of 6.3 MPa·m<sup>1/2</sup> for composites added with 24wt% Al<sub>2</sub>O<sub>3</sub>+Y<sub>2</sub>O<sub>3</sub> additives at room temperature. The resistance temperature coefficient respectively showed the value of  $2.46 \times 10^{-3}$ ,  $2.47 \times 10^{-3}$ ,  $2.52 \times 10^{-3}/^{\circ}\text{C}$  for composite added with 16, 20, 24wt% Al<sub>2</sub>O<sub>3</sub>+Y<sub>2</sub>O<sub>3</sub> additives. The electrical resistivity of the composites was all positive temperature coefficient resistance(PTCR) in the temperature range of 25°C to 900°C.

**Key Words :** Electroconductive ceramic composites, YAG(Al<sub>5</sub>Y<sub>3</sub>O<sub>12</sub>), Electrical Resistivity, Resistance Temperature Coefficient, Fracture Toughness

#### 1. 장

SiC 세라믹 소결은 소결조제로써 boron, aluminium이나 carbon을 사용하여 고상소결법으로 약 1950~2100°C에서 제조된다. 그러나 고상소결방식은 소결온도가 너무 높다는 단점을 가지고 있다 [1-3].

본 저자들은 4, 8, 12wt% Al<sub>2</sub>O<sub>3</sub>+Y<sub>2</sub>O<sub>3</sub>를 첨가하여 1800°C에서 hot-pressing한  $\beta$ -SiC-ZrB<sub>2</sub>의 기계적, 전기적 성질을 elongated된 SiC 입자의 미세구조 제

어 및 YAG의 영향에 대하여 체계적으로 조사한 바 있다.

이러한 복합체는 Al<sub>2</sub>O<sub>3</sub>+Y<sub>2</sub>O<sub>3</sub>의 첨가량이 증가할 수록 YAG의 형성량이 증가하여 상대밀도의 증진과 함께 소결과정동안 SiC의 입자가 elongated되어 균열 편향과 균열 가교 등의 고인성화 기구가 활발히 일어나 파괴인성이 증되었음을 밝혔다.

만약 액상소결의 첨가제인 Al<sub>2</sub>O<sub>3</sub>+Y<sub>2</sub>O<sub>3</sub>량을 증가시키면 상대밀도, 기계적 강도 및 전기저항률이 어떻게 나타날 것인가에 대한 연구가 필요하게 되었다.

본 연구에서는  $\beta$ -SiC와 ZrB<sub>2</sub>를 혼합하고, 이 혼합물에 16, 20, 24wt%의 Al<sub>2</sub>O<sub>3</sub>+Y<sub>2</sub>O<sub>3</sub>를 첨가하여 1800°C에서 hot-pressing을 하였다. SiC의 상전이와

\* 원광대학교 전기전자공학부  
(전북 익산시 신용동 원광대학교,  
Fax: 0653-850-6736  
E-mail : ydshin@wonnmms.wonkwang.ac.kr)

$\text{Al}_2\text{O}_3 + \text{Y}_2\text{O}_3$ 를 첨가하여 액상소결을 통한 파괴인성 증진을 꾀하였다. 또  $\text{SiC}$ 와  $\text{ZrB}_2$ 를 복합화므로써 도전성, 내산화성, 기계적 강도 등 저온 및 고온용 도전재료로써 필요한 특성을 지닌  $\text{SiC-ZrB}_2$ 계의 복합체를 개발하고자 하였다.

$\text{Al}_2\text{O}_3 + \text{Y}_2\text{O}_3$ 양에 따른  $\beta$ - $\text{SiC-ZrB}_2$  복합체의 전기적·기계적 특성에 미치는 영향을 평가할 목적으로 XRD분석, 상대밀도, 격임강도, Vicker's 경도, 파괴인성, SEM 및 Pauw법에 의한 전기저항률에 대하여 조사하였다.

## 2. 실험방법

### 2.1 출발 원료 및 혼합

본 실험에서 사용된  $\beta$ - $\text{SiC}$ 와  $\text{ZrB}_2$ 는 독일 H. C. Starck사의 제품을 사용하였고, 소결첨가제로 쓰인  $\text{Al}_2\text{O}_3$ 와  $\text{Y}_2\text{O}_3$ 은 각각 일본 Showa Chemical Inc.사의 제품과 미국 Aldrich Chemical Company, Inc.사의 제품을 이용하였다.

출발원료는  $\beta$ - $\text{SiC}$ 에  $\text{ZrB}_2$ 를 혼합하고, 이 혼합물에 16, 20, 24wt%의  $\text{Al}_2\text{O}_3 + \text{Y}_2\text{O}_3$ (6 : 4 mixture of  $\text{Al}_2\text{O}_3$  and  $\text{Y}_2\text{O}_3$ )를 첨가하였다. 이렇게 준비된 시료는 아세톤 용액으로 polyurethane jar에서  $\text{SiC}$  볼(10, 20Φ), 1:5 charge을 사용하여 24시간 동안 planetary ball milling을 시킨 후 잘 건조시켰다. 건조된 시료는 60mesh 망체로 sieve를 하였다.

### 2.2 소결

$\beta$ - $\text{SiC-ZrB}_2$ 에  $\text{Al}_2\text{O}_3 + \text{Y}_2\text{O}_3$ (6 : 4 mixture of  $\text{Al}_2\text{O}_3$  and  $\text{Y}_2\text{O}_3$ )를 16, 20, 24wt%씩 각각 혼합하여 sieve된 분말을 흑연 몰드에 넣고 흑연 유도가열식 가압소결로[Astro, California, U.S.A]로 argon gas 분위기에서 소결시켰다.

소결방법은 1800°C까지 분당 10°C로 승온하고, 입자성장과  $\beta$ 상에서  $\alpha$ 상으로의 상전이 및 YAG 생성을 위하여 1800°C에서 4시간 동안 열처리 한 다음 분당 12.8°C로 냉각 시켰다. 승압은 1000°C에서 5.55MPa을 주고 10°C씩마다 약 0.28MPa을 승압하여서 1700°C까지 25MPa을 가한 뒤 1730°C까지 약 3분간 유지한 다음 1750°C에서 압력을 풀어주었다.

본 논문에서는  $\beta$ - $\text{SiC}$ 에  $\text{ZrB}_2$ 를 혼합하고 이 혼합물에  $\text{Al}_2\text{O}_3 + \text{Y}_2\text{O}_3$ 을 16, 20, 24wt.%씩 첨가한 시편을 각각 SZ-AY<sub>16</sub>, SZ-AY<sub>20</sub>, SZ-AY<sub>24</sub>로 명명한다.

### 2.3 물성측정

$\beta$ - $\text{SiC+ZrB}_2$ 에  $\text{Al}_2\text{O}_3 + \text{Y}_2\text{O}_3$ 를 첨가한 세라믹 복합

체의 이론밀도는 rule of mixture에 의해서 구해졌고, 상대밀도는 중류수를 이용한 아르카메데스법으로 SZ-AY<sub>16</sub>, SZ-AY<sub>20</sub>와 SZ-AY<sub>24</sub> 세 개의 시편 당 4개의 sample을 취하여 각 sample당 5회 측정한 값의 평균값을 취하였다.

소결된 시편의 fracture toughness[ $K_{IC}$ ] 값은 Vicker's 미소경도시험기[Model DVK-2, Matsuzawa, Japan]를 이용하여 경도 및 파괴인성 시험법인 indentation method로 각 시편 당 5회 측정하였다. 경도 및 파괴인성치는 A. G. Evans & T. R. Wilshaw식[4]으로 계산하였다.

crack propagation의 거동은 Murakami's reagent로 처리되어진 후 SEM[JSM-840A, Jeol, Japan]으로 분석하였다.

전기저항률은 Pauw법[5]으로 실온부터 900°C까지 측정하였다.  $\beta$ - $\text{SiC-ZrB}_2$ 계 복합체의 전기저항률은 25°C에서 900°C까지 Pauw법으로 110회를 측정하여 다음 식에 의해서 전기저항률  $\rho$ 는 계산되었다.

$$\rho = \frac{\pi d}{\ln 2} \frac{R_1 + R_2}{2} \times f \left( \frac{R_1}{R_2} \right)$$

$$R_1 = \frac{V_{CD}}{I_{AB}} (\Omega) \quad R_2 = \frac{V_{BC}}{I_{AD}} (\Omega)$$

여기서,

$V_{AB}$  : 단자 CD간에 전류  $I_{CD}$ 를 흘렸을 때의 단자 AB간의 전압.

$V_{CD}$  : 단자 AB간에 전류  $I_{AB}$ 를 흘렸을 때의 단자 CD간의 전압.

$f$  : 보정계수( $R_1/R_2 < 1.5$ 이면,  $f = 1$ )

$d$  : 시료의 두께.

## 3. 결과 및 고찰

### 3.1 상대밀도

상대밀도는 SZ-AY<sub>16</sub>, SZ-AY<sub>20</sub>, SZ-AY<sub>24</sub> 세 개의 시편에 대해 4개의 sample을 취하여 각 sample당 5회 실험한 측정치를 평균하였으며, 16, 20, 24wt%에서 각각 95.47, 95.77, 95.57%로 거의 비슷한 값을 나타내고 있다. 이것은 소결과정 중 carbon의 oxygen에 대한 높은 친화력으로 인하여  $\text{SiC}$ 와  $\text{Al}_2\text{O}_3$ 간의 반응으로 인해 생성되는 기공을 YAG( $\text{Al}_5\text{Y}_3\text{O}_{12}$ )가 형성되어 기공을 채워주므로써 밀도화를 높였기 때문으로 사료된다.

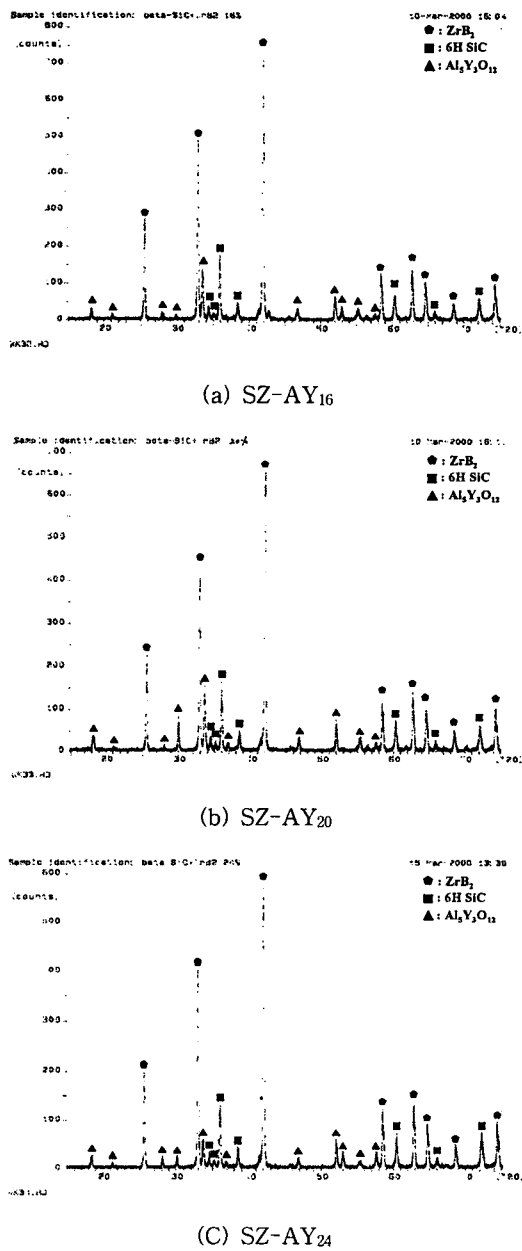


그림 1  $\text{Al}_2\text{O}_3+\text{Y}_2\text{O}_3$ 를 첨가한  $\beta$ -SiC-ZrB<sub>2</sub>의 XRD  
Fig. 1 X-ray diffraction analysis of  $\beta$ -SiC-ZrB<sub>2</sub>  
with  $\text{Al}_2\text{O}_3+\text{Y}_2\text{O}_3$  contents

그림 1에서 나타나듯이 XRD분석 결과 ZrB<sub>2</sub>입자는 SiC 기지상에 2차상으로 존재하고 SiC와 ZrB<sub>2</sub>의 반응은 일어나지 않았으며 SiC는 6H polytype으로 변하여  $\beta$  상에서  $\alpha$  상으로의 상전이도 나타나고 있다. 액상 소결을 위해 소결원조제로 첨가한  $\text{Al}_2\text{O}_3$ 와  $\text{Y}_2\text{O}_3$ 은 반응하여 YAG상으로 나타나고, 첨가량이 증

가할수록 그 양이 증가하는 현상을 볼 수가 있다. 이러한 현상으로도 상대밀도가 증가하는 현상을 보완 설명할 수가 있다.

### 3.2 파괴인성

그림 2은 비커스 압인법으로 경도를 5회 측정하여 A. G. Evans & T. R. Wilshaw[4]의 식으로 파괴인성치를 계산하여 평균값을 나타내었다.

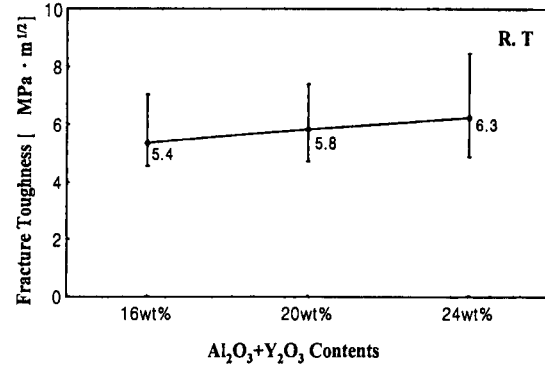
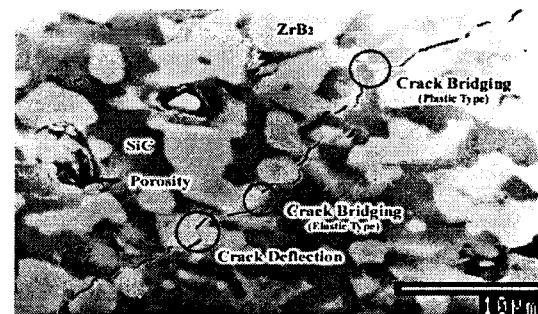
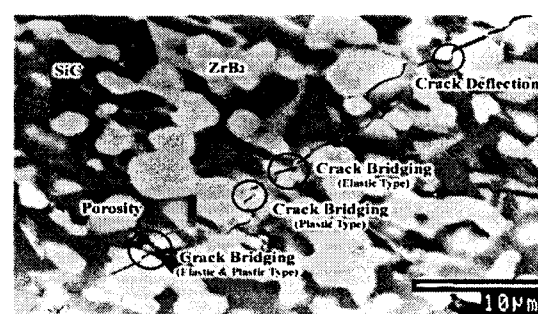


그림 2  $\text{Al}_2\text{O}_3+\text{Y}_2\text{O}_3$ 를 첨가한  $\beta$ -SiC-ZrB<sub>2</sub>의 파괴  
인성

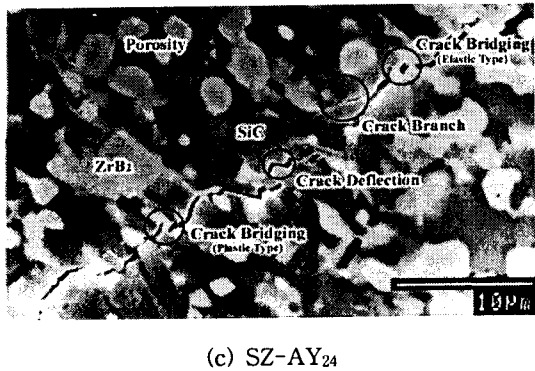
Fig. 2 Fracture toughness of the  $\beta$ -SiC+ZrB<sub>2</sub>  
with  $\text{Al}_2\text{O}_3+\text{Y}_2\text{O}_3$  contents



(a) SZ-AY<sub>16</sub>



(b) SZ-AY<sub>20</sub>



(c) SZ-AY<sub>24</sub>

그림 3 파괴거동 SEM 사진

Fig. 3 SEM micrographs of crack propagation

A. G. Evans & T. R. Wilshaw[4]의 식으로 파괴인성치를 계산하여 최고, 최저 및 평균값을 나타내었다. SZ-AY<sub>16</sub>, SZ-AY<sub>20</sub>, SZ-AY<sub>24</sub>일 때는 파괴인성이 각각 5.4, 5.8, 6.3 MPa · m<sup>1/2</sup>으로 약간 증가하는 경향을 나타내고 있다.

Al<sub>2</sub>O<sub>3</sub>+Y<sub>2</sub>O<sub>3</sub>의 첨가량이 증가할수록 파괴인성치가 증가하는 이유는 소결과정에서 생성된 YAG가 소결 후 계면에 존재하는 양이 많아져 크랙의 driving force를 낮추는 결과를 가져왔기 때문이고, 상대밀도의 증진과 SiC의 상이  $\beta \rightarrow \alpha$ 로의 상전이가 일어났기 때문으로 사료된다. 또한 SZ-AY<sub>24</sub>일 때 파괴인성이 높게 나타나는데 이것은 그림 3에 나타난 바와 같이 SiC 입자 성장이 과대하게 일어나 크랙 가교형태 즉 elastic과 plastic의 가교형태와 크랙 가지형태에 기인한 것으로 사료된다.

### 3.2 전기저항률

전기저항률은 Pauw법[5]을 이용하여 세 가지 시편을 25°C에서 900°C 사이의 온도 범위에서 측정하였으며, 그 결과를 그림 4에 나타내었다.

SZ-AY<sub>16</sub>, SZ-AY<sub>20</sub>, SZ-AY<sub>24</sub>의 전기저항률은 25°C에서 각각  $2.70 \times 10^{-3}$ ,  $3.77 \times 10^{-3}$ ,  $3.04 \times 10^{-3} \Omega \cdot \text{cm}$ 을 나타내었고, 900°C에서 각각  $8.50 \times 10^{-3}$ ,  $1.19 \times 10^{-2}$ ,  $9.74 \times 10^{-3} \Omega \cdot \text{cm}$ 로 시편 모두 PTCR특성을 나타나고 있다.

SZ-AY<sub>16</sub>, SZ-AY<sub>20</sub>, SZ-AY<sub>24</sub> 각각의 저항의 온도계수는  $2.46 \times 10^{-3}$ ,  $2.47 \times 10^{-3}$ ,  $2.52 \times 10^{-3}/\text{°C}$ 로 거의 비슷한 값을 나타내고 있다.

### 4. 결 론

$\beta$ -SiC+ZrB<sub>2</sub>에 Al<sub>2</sub>O<sub>3</sub>+Y<sub>2</sub>O<sub>3</sub>(6 : 4 mixture of Al<sub>2</sub>O<sub>3</sub> and Y<sub>2</sub>O<sub>3</sub>)의 첨가량을 16, 20, 24wt%로 변화시켜 저

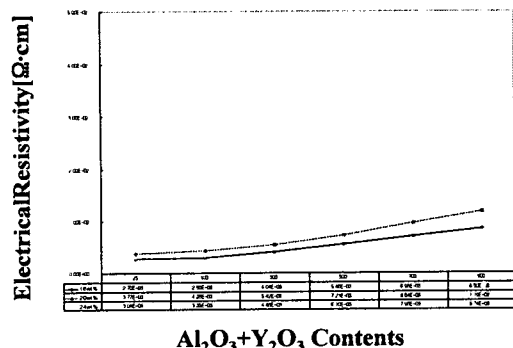


그림 4 SZ-AY<sub>16</sub>, SZ-AY<sub>20</sub>과 SZ-AY<sub>24</sub> 전기저항률의 온도 의존성

Fig. 4 Temperature dependence of electrical resistivity of SZ-AY<sub>16</sub>, SZ-AY<sub>20</sub> and SZ-AY<sub>24</sub>

온가압과 4시간 동안 annealing에 의하여 소결한 복합체의 상대밀도, 파괴인성 및 전기저항률 특성을 조사한 결과는 다음과 같다.

복합체의 상대밀도는 비슷한 값을 나타내고 있지만 첨가량이 증가할수록 기계적 강도는 증가하고 있다. SZ-AY<sub>16</sub>, SZ-AY<sub>20</sub>, SZ-AY<sub>24</sub> 각각의 저항의 온도계수는  $2.46 \times 10^{-3}$ ,  $2.47 \times 10^{-3}$ ,  $2.52 \times 10^{-3}/\text{°C}$ 로 거의 비슷한 값을 나타내고 있다.

### [참 고 문 헌]

- [1] Mamoru Mitomo "Microstructural Development During Gas-Pressure Sintering of  $\alpha$ -Silicon Nitride" J. Am. Ceram. Soc., 75[1], pp. 103-108, 1992.
- [2] Nitin P. Padture "In Situ-Toughened Silicon Carbide" J. Am. Ceram. Soc., 77[2], pp. 519-23, 1994.
- [3] Mamoru Mitomo, Young-Wook Kim, Hideki Hirotsuru "Fabrication of Silicon carbide nanoceramics" J. Mater. Res., Vol. 11, No. 7, Jul 1996.
- [4] A. G. Evans and T. R. Wilshaw "Quasi-Static Solid Particle Demage in Brittle Solids-1. Observation Analysis and Implication" Acta Metallurgica. Vol. 24, pp. 939-956, 1976.
- [5] "Philips Research Reports" Philips Res. Repts 13, 1-9, 1958.